

Starkniederschlagshöhen und -spenden gemäß KOSTRA-DWD-2010R

Auswertungszeitraum von 1951 - 2010, Januar - Dezember

Rasterfeld: 46020

Zeile: 46

Spalte: 20

Seite: 1/2

| Dauerstufe D | Wiederkehrzeit T | | | | | | | | | | | | | | | | | | |
|--------------|------------------|------|------------|------|------------|------|------------|------|------------|------|------------|------|------------|------|------------|------|------------|------|------------|
| | 1 a | | 2 a | | 3 a | | 5 a | | 10 a | | 20 a | | 30 a | | 50 a | | 100 a | | |
| min | Std | mm | l / (s ha) | mm | l / (s ha) | mm | l / (s ha) | mm | l / (s ha) | mm | l / (s ha) | mm | l / (s ha) | mm | l / (s ha) | mm | l / (s ha) | mm | l / (s ha) |
| 5 | | 4,8 | 160,0 | 6,6 | 220,0 | 7,6 | 253,3 | 8,9 | 296,7 | 10,7 | 356,7 | 12,5 | 416,7 | 13,5 | 450,0 | 14,8 | 493,3 | 16,6 | 553,3 |
| 10 | | 7,7 | 128,3 | 10,1 | 168,3 | 11,5 | 191,7 | 13,2 | 220,0 | 15,6 | 260,0 | 18,0 | 300,0 | 19,4 | 323,3 | 21,1 | 351,7 | 23,5 | 391,7 |
| 15 | | 9,7 | 107,8 | 12,5 | 138,9 | 14,2 | 157,8 | 16,2 | 180,0 | 19,0 | 211,1 | 21,9 | 243,3 | 23,5 | 261,1 | 25,6 | 284,4 | 28,4 | 315,6 |
| 20 | | 11,1 | 92,5 | 14,3 | 119,2 | 16,1 | 134,2 | 18,5 | 154,2 | 21,7 | 180,8 | 24,8 | 206,7 | 26,7 | 222,5 | 29,0 | 241,7 | 32,2 | 268,3 |
| 30 | | 13,0 | 72,2 | 16,8 | 93,3 | 19,0 | 105,6 | 21,8 | 121,1 | 25,5 | 141,7 | 29,3 | 162,8 | 31,5 | 175,0 | 34,2 | 190,0 | 38,0 | 211,1 |
| 45 | | 14,7 | 54,4 | 19,1 | 70,7 | 21,8 | 80,7 | 25,0 | 92,6 | 29,5 | 109,3 | 34,0 | 125,9 | 36,6 | 135,6 | 39,8 | 147,4 | 44,3 | 164,1 |
| 60 | | 15,7 | 43,6 | 20,7 | 57,5 | 23,7 | 65,8 | 27,4 | 76,1 | 32,4 | 90,0 | 37,4 | 103,9 | 40,4 | 112,2 | 44,1 | 122,5 | 49,1 | 136,4 |
| 90 | | 17,2 | 31,9 | 22,4 | 41,5 | 25,4 | 47,0 | 29,2 | 54,1 | 34,3 | 63,5 | 39,5 | 73,1 | 42,5 | 78,7 | 46,3 | 85,7 | 51,5 | 95,4 |
| 120 | 2 | 18,4 | 25,6 | 23,6 | 32,8 | 26,7 | 37,1 | 30,6 | 42,5 | 35,8 | 49,7 | 41,1 | 57,1 | 44,1 | 61,3 | 48,0 | 66,7 | 53,3 | 74,0 |
| 180 | 3 | 20,1 | 18,6 | 25,5 | 23,6 | 28,6 | 26,5 | 32,6 | 30,2 | 38,0 | 35,2 | 43,4 | 40,2 | 46,6 | 43,1 | 50,5 | 46,8 | 55,9 | 51,8 |
| 240 | 4 | 21,4 | 14,9 | 26,9 | 18,7 | 30,2 | 21,0 | 34,2 | 23,8 | 39,7 | 27,6 | 45,2 | 31,4 | 48,4 | 33,6 | 52,4 | 36,4 | 57,9 | 40,2 |
| 360 | 6 | 23,5 | 10,9 | 29,1 | 13,5 | 32,4 | 15,0 | 36,6 | 16,9 | 42,2 | 19,5 | 47,9 | 22,2 | 51,1 | 23,7 | 55,3 | 25,6 | 60,9 | 28,2 |
| 540 | 9 | 25,7 | 7,9 | 31,5 | 9,7 | 34,9 | 10,8 | 39,2 | 12,1 | 45,0 | 13,9 | 50,7 | 15,6 | 54,1 | 16,7 | 58,4 | 18,0 | 64,2 | 19,8 |
| 720 | 12 | 27,5 | 6,4 | 33,4 | 7,7 | 36,8 | 8,5 | 41,1 | 9,5 | 47,0 | 10,9 | 52,9 | 12,2 | 56,4 | 13,1 | 60,7 | 14,1 | 66,6 | 15,4 |
| 1080 | 18 | 30,1 | 4,6 | 36,1 | 5,6 | 39,7 | 6,1 | 44,1 | 6,8 | 50,2 | 7,7 | 56,2 | 8,7 | 59,7 | 9,2 | 64,2 | 9,9 | 70,2 | 10,8 |
| 1440 | 24 | 32,1 | 3,7 | 38,3 | 4,4 | 41,9 | 4,8 | 46,4 | 5,4 | 52,6 | 6,1 | 58,7 | 6,8 | 62,3 | 7,2 | 66,8 | 7,7 | 73,0 | 8,4 |
| 2880 | 48 | 40,0 | 2,3 | 47,0 | 2,7 | 51,1 | 3,0 | 56,2 | 3,3 | 63,2 | 3,7 | 70,1 | 4,1 | 74,2 | 4,3 | 79,4 | 4,6 | 86,3 | 5,0 |
| 4320 | 72 | 45,5 | 1,8 | 53,0 | 2,0 | 57,3 | 2,2 | 62,8 | 2,4 | 70,2 | 2,7 | 77,7 | 3,0 | 82,1 | 3,2 | 87,5 | 3,4 | 95,0 | 3,7 |

Angaben in mm: Bemessungsniederschlagswerte h(n)

Angaben in l / (s ha): Regenspende R(n) mit $R(n) = h(n) \times 1,666667 / D[\text{min}]$

Toleranzbereiche:

+/- 10 % für $1 a \leq T \leq 5 a$

+/- 15 % für $5 a < T \leq 50 a$

+/- 20 % für $50 a < T \leq 100 a$

Datenbasis: KOSTRA-DWD-2010R des Deutschen Wetterdienstes. Die Regenspende wurde auf Basis des Bemessungsniederschlags zur jeweiligen Andauer berechnet.

Für die Richtigkeit und Aktualität der Angaben wird keine Gewähr übernommen. Erstellt 07/2022.

Starkniederschlagshöhen und -spenden gemäß KOSTRA-DWD-2010R

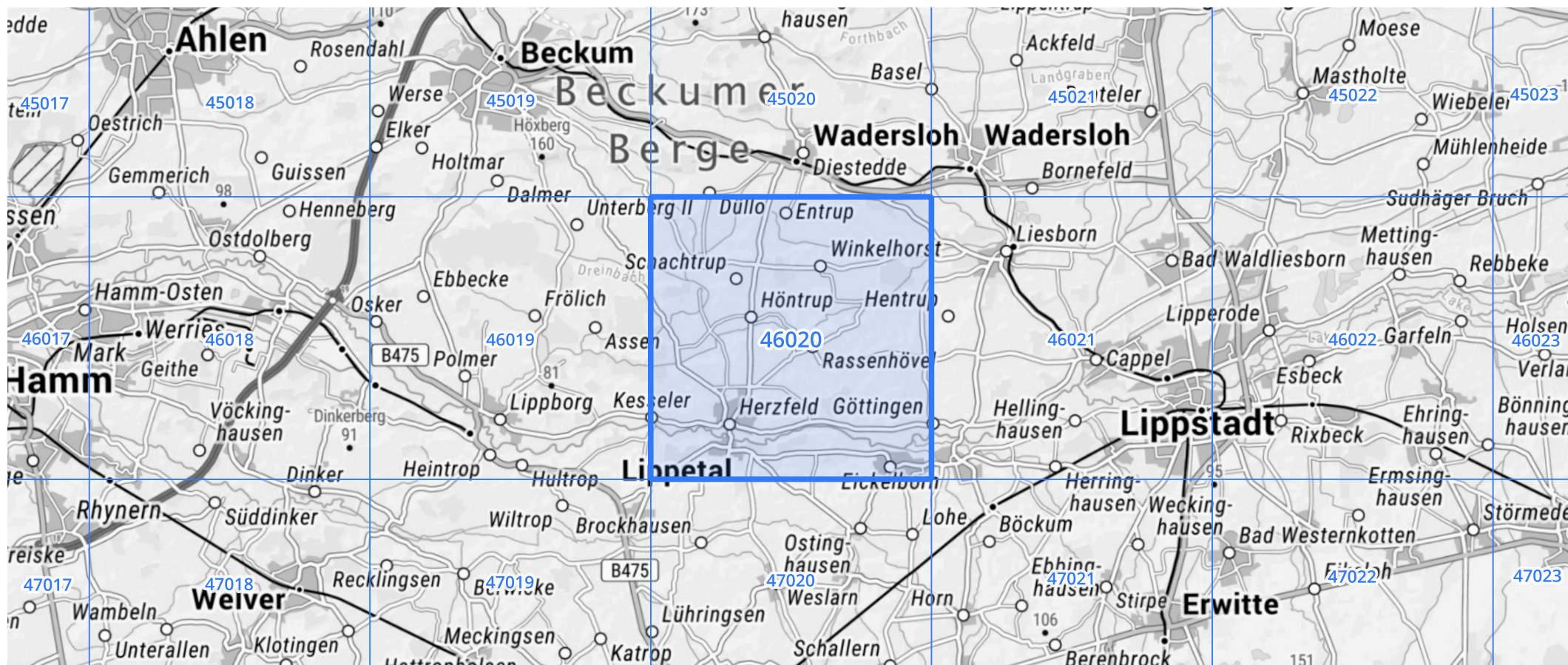
Auswertungszeitraum von 1951 - 2010, Januar - Dezember

Rasterfeld: 46020

Zeile: 46

Spalte: 20

Seite: 2/2



Quelle Rasterdaten: KOSTRA-DWD-2010R des Deutschen Wetterdienstes.

Kartendarstellung: © Bundesamt für Kartographie und Geodäsie (2022), Datenquellen: https://sgx.geodatenzentrum.de/web_public/gdz/datenquellen/Datenquellen_TopPlusOpen.html

Für die Richtigkeit und Aktualität der Angaben wird keine Gewähr übernommen. Erstellt 07/2022.